

열처리 조건에 따른 TiAl화합물의 미세조직과 기계적 성질에 관하여

박정종 · 이철형 · 최진일

단국대학교 재료공학과

Effect of Heattreatment condition on structure
 and properties of TiAl alloys.

J. J. Park, C. H. Lee, J. I. Choe

Dept. of Materials Sci. & Eng., Dankook University

ABSTRACT

Various heat-treatments were conducted to Ti-48.1at% Al and Ti-48.3at% Al-1.2at% Mn alloys casted by plasma arc melting system. Mechanical properties, microstructure and high temperature oxidizing behaviors of as-casted and heat-treatment alloys were investigated.

Ti-48.1Al and Ti-48.3Al-1.2Mn alloys were decreased in strength according to increased of heat-treatment temperature. Oxidizing weight gain of Ti-48.1Al alloy which conducted at 1273° K was linearly increased. In case of adding Mn to alloy, there was no rapid increase of oxidizing weight gain during early time.

1. 서 론

Ti합금은 일반적으로 near α 합금, Ti-Aluminide, MMC(metal matrix composite)로 구분되며¹⁾, 이중 Ti-Aluminide계 금속간화합물에는 Ti_3Al 계 ($D0_{19}$), $Ti-Al$ 계 ($L1_0$), $TiAl_3$ 계 ($D0_{22}$)등이 있는데 $TiAl$ 계 금속간화합물인 r $Ti-Aluminide$ 는 저밀도, 고용점, 고온강도, 내산화성, Creep특성이 우수하므로 최근에는 자동차, 항공재료의 경량화 및 제트엔진의 고성능화의 필요성이 증가함에 따라 경량고온재료로서²⁾ 각광을 받고 있다

$TiAl$ 화합물은 상온에서의 낮은 인성으로 인한 가공의 어려움과 용해시 Ti의 높은 활성으로 인한 가스흡수 및 용탕과 도가니와의 반응으로 인하여 전전한 합금의 제조가 어려우므로 정밀주조법을 이용하거나 연성개선을 위해 제3의 원소를 첨가하여 r 단상이나 α_2+r 의 2상조직에 관해 연구³⁾가 되고 있으나 층상조직의 분율, 형상 및 결정입도 등과 같은 미세조직을 제어하는 열처리에 관해서는 미흡하다. 또 $TiAl$ 2원상태도에서 Ti과 Al의 화학양론적 조성은 50.2at%이지만, Ti과 Al원자는 공격을 형성하지 않고 상호치환하여 49~66at% Al의

넓은 γ 상 조성영역이 존재하므로 γ 단상영역이나 α + γ 구역에서의 균질화 처리가 행해지고 있는데 단순한 균질화처리만으로는 층상조직의 형상과 분율을 제어할 수 없을 뿐아니라 입자의 조대화나 불안정한 α 상이 석출되기도 한다.

따라서 본 연구에서는 TiAl금속간화합물의 실용화의 문제점인 상온취성과 Ti활성화로 인한 산화를 방지하기 위해 합금제조시 불활성분위기인 Ar 분위기下에서 수냉 Copper Crucible을 이용한 Plasma arc melting system을 선택하였고 Ti-48at%Al합금과 제3의 원소로 Mn을 2at% 첨가한 Ti-48Al-1.2Mn합금의 각 열처리 조건에 따른 미세조직과 기계적 성질을 조사하였다.

2. 실험방법

2. 1 용해 및 열처리

TiAl시편제조는 sponge Ti(99.8%), Al(99.9%), Mn(99.8%)이 원료로 사용되었으며 용해는 수냉 Copper Crucible을 사용한 Plasma arc melting system^o 이용되었는데 시료장입 후 1×10^{-3} Torr까지 진공배기한 후 순도 99.99%의 Ar gas를 1.1기압까지 채운 후 용해하였다. Table. 1은 열처리시 사용된 시편의 화학조성이고 열처리 조건은 α 구역에 재결정시키기 위해 1650°K에서 2시간 유지하고 급냉한 후 1573, 1473, 1373, 1273°K의 온도로 5시간 유지한 후 노냉하였다. 냉매는 상온의 물을 사용하였으며 열처리시 발생하는 시편의 산화를 방지하기 위해 진공배기한 석영관에 시편을 봉입한 후 열처리 하였으며 각시편의 열처리 조건은 Fig. 1과 같으며 Fig. 2는 TiAl 2원합금의 상변화를 나타내었다.

Table. 1 Chemical composition of alloys based on TiAl intermetallic compound.

| | Chemical Composition(at%) | | | | |
|----------|---------------------------|-------|------|--------|--------|
| | Ti | Al | Mn | Ni | Cu |
| Ti-Al | bal. | 48.12 | — | 0.0018 | 0.0032 |
| Ti-Al-Mn | bal. | 48.35 | 1.22 | 0.0012 | 0.0028 |

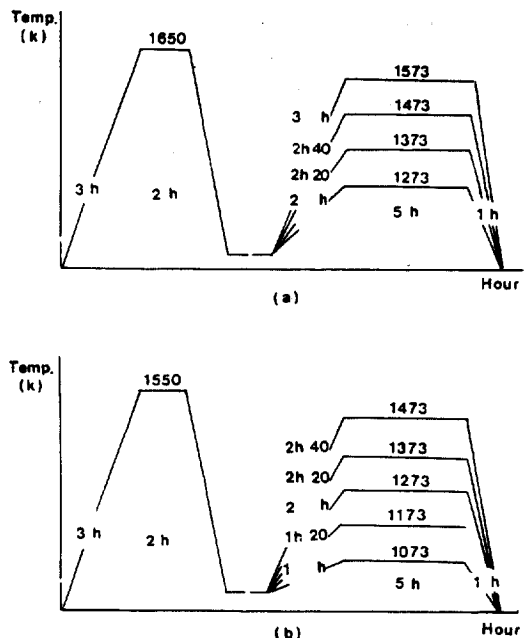


Fig. 1 Heat treatment conditions of alloys based on TiAl intermetallic compound.
(a) Ti-48.1Al (b) Ti-48.3Al-1.22Mn

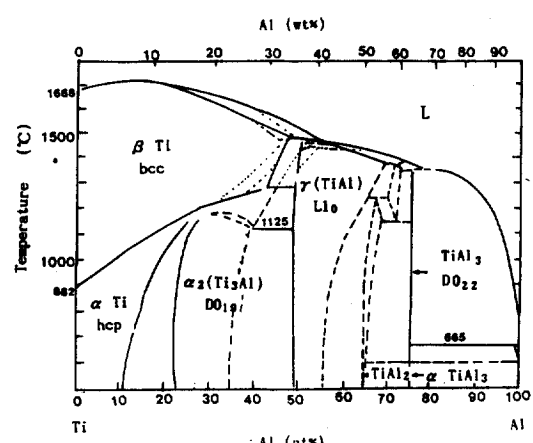


Fig. 2 Phase diagram of Ti-Al binary system.

2. 2 압축시험 및 X선회절시험

일반적으로 취성이 있는 재료는 시편의 길이를 직경의 1~1.5배로 하므로 직경 5mm, 길이 8mm의 봉상으로 하고 1×10^{-3} mm/s의 일정한 변형속도로 시험하였다. 조직관찰은 광학현미경을 이용하였으며 etching은 Ti-48Al합금은 15%HF+5%HNO₃

+80% H₂O용액에서 약 20초 행하였고 Ti-48.1Al-1.22Mn합금은 10% HF+5% HNO₃+85% H₂O용액에서 약 10초 행하였고 각 열처리 조건에 따른 상변화를 조사하기 위하여 X-ray회절 패턴분석을 하였는데 Cu target가 사용되었다.

2. 3 고온 산화실험

TiAl화합물의 내고온산화성을 조사하기 위하여 1273°K의 대기중에서 가열한 후 단위면적당 산화증량으로 산화시험을 행하였는데 사용된 시편은 주조한 것과 열처리한 것을 가로 7mm, 세로 7mm, 두께 1mm로 제조하였으며 시편의 표면적효과를 최소화하기 위해 emery paper #2,000까지 연마한 후 시편의 두께를 micrometer로 측정하였다.

3. 실험결과 및 고찰

3. 1 조직관찰

Photo 1, 2는 제3의 원소인 Mn을 첨가한 것과 첨가하지 않은 TiAl합금의 현미경조직인데 사진에서 나타난 바와 같이 Ti-48.1Al합금의 경우 1, 650°K에서 2시간 유지한 후 수냉하면 주조조직인 dendrite는 사라지고 α_2 상과 τ 상이 보이고 있다. (c), (d), (e), (f)는 수냉후 열처리를 달리하여 열처리한 것으로서 열처리 온도가 증가할수록 상경계가 불분명하게 되고 (e)조직에서는 $\alpha_2+\tau$ 상이 보여진다. Mn첨가의 경우는 Mn의 원자 반경이 Ti보다 작고 Al을 치환하여 τ 상 안정영역 쪽으로 이동시키고 결정입자를 미세하게 하는데⁴⁾ 사진에서 보이는 바와같이 quenching에 의해 dendrite조직은 사라지고 수냉 후 열처리온도가 낮아짐에 따라 $\alpha_2+\tau$ 충상구조의 분율이 증가하고 있다.

Fig. 3과 Fig. 4는 Mn을 첨가한 것과 첨가하지 않은 것의 열처리에 따른 X선회절을 나타낸 것인데 Mn을 첨가하지 않은 것은 열처리온도가 증가함에 따라 α_2 상의 peak가 보이고 있으나 Mn을 첨가한 경우는 peak가 보이지 않고 있는데 이것은 균질화 처리시 α_2 상이 소멸되면서 τ 상계면에 쌍정이

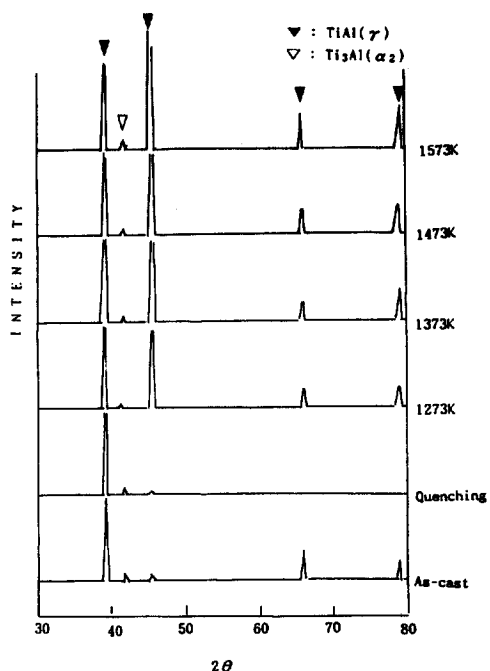


Fig. 3 X-ray diffraction patterns of Ti-48.1at% Al alloy.

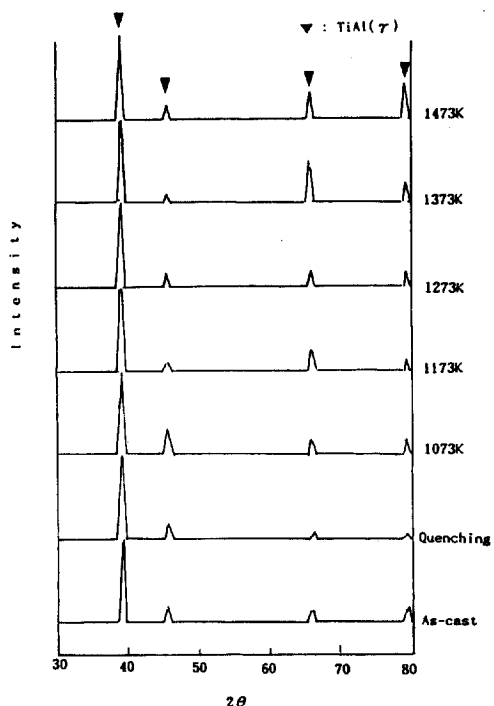


Fig. 4 X-ray diffraction patterns of Ti-48.3at% Al-1.22at% Mn alloy.

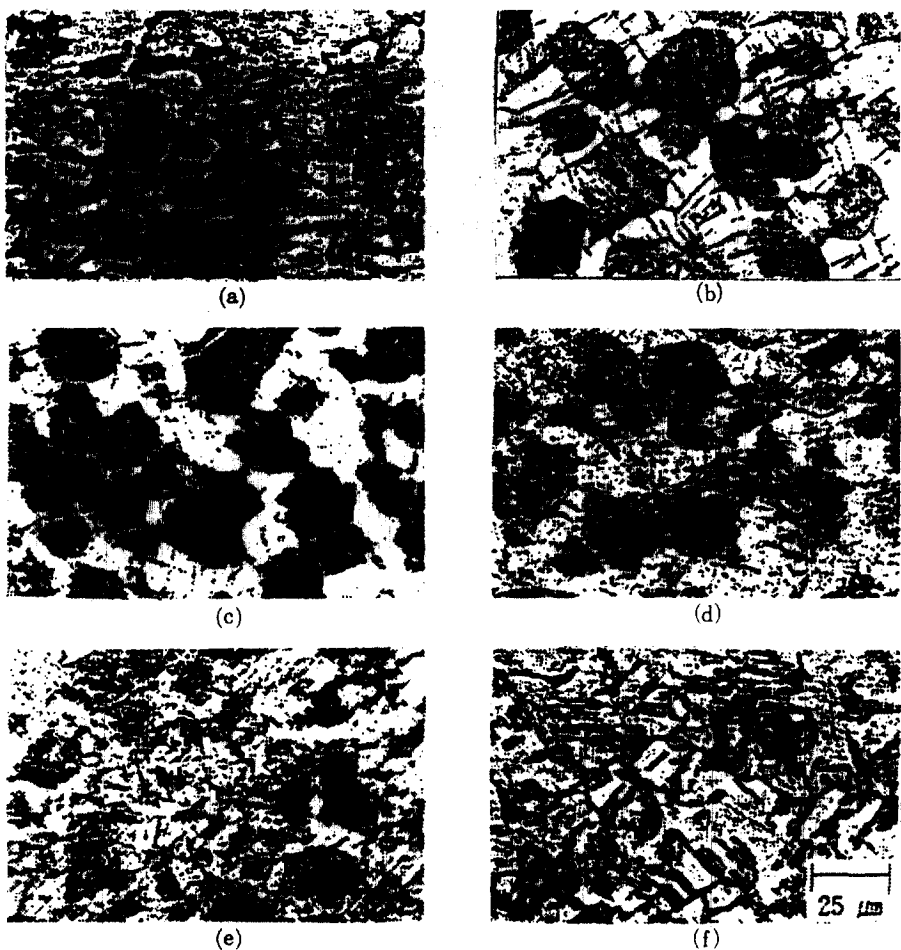


Photo. 1 Effect of heat treatment conditions on microstructure of Ti-48.1at%Al alloy.
 (a) As-cast (b) Quenching (c) 1273K (d) 1373K (e) 1473K (f) 1573K

생기는데 Mn이 이를 계면에 편석되어 적층계면에 너지를 안정화시키고 계면에 있는 전위가 쌍정변형 발생원으로 작용해⁵⁾ α 상과 층상조직이 소멸되는 것으로 고려된다.

3. 2 강도시험

Fig. 5는 Mn을 첨가한 것과 첨가하지 않은 것을 $\alpha+\gamma$ 구역으로 냉각시킨 후 $\alpha+\gamma$ 구역과 $\alpha_2+\gamma$ 구역에서 5시간동안 열처리한 것을 온도에 따른 기계적 성질로 나타낸 것인데 용체화처리 후 수냉하였을 때보다 열처리 후 강도가 낮아지고 있는데 이것은 α_2 상이 제2상으로 입계에 무질서하게 나열되어

소성변형시 저항을 나타내어 단상조직보다는 층상조직과 γ 상으로 구성되는 2상조직에 의한 연성증가 때문으로 고려된다. 또 1473°K까지 온도가 증가함에 따라 감소하다가 1573°K에서는 다시 증가하고 있는데 이것은 수냉시 편석된 Al이 열처리에 의해 재고용되어 강도에 영향을 미친 것으로 고려된다. Mn을 첨가한 경우에는 첨가 안한 경우보다 월등히 낮은 강도값을 보이고 있는데 이것은 Al을 치환하여 γ 상의 연화를 일으키는 Mn이 γ 상의 소성변형용력의 저하를 일으켜 강도의 감소를 가져온 것으로 고려된다. 즉 Mn첨가에 의해 쉽게 생성되는 쌍정변형이 소성변형을 증가⁶⁾시키기 때문이다.

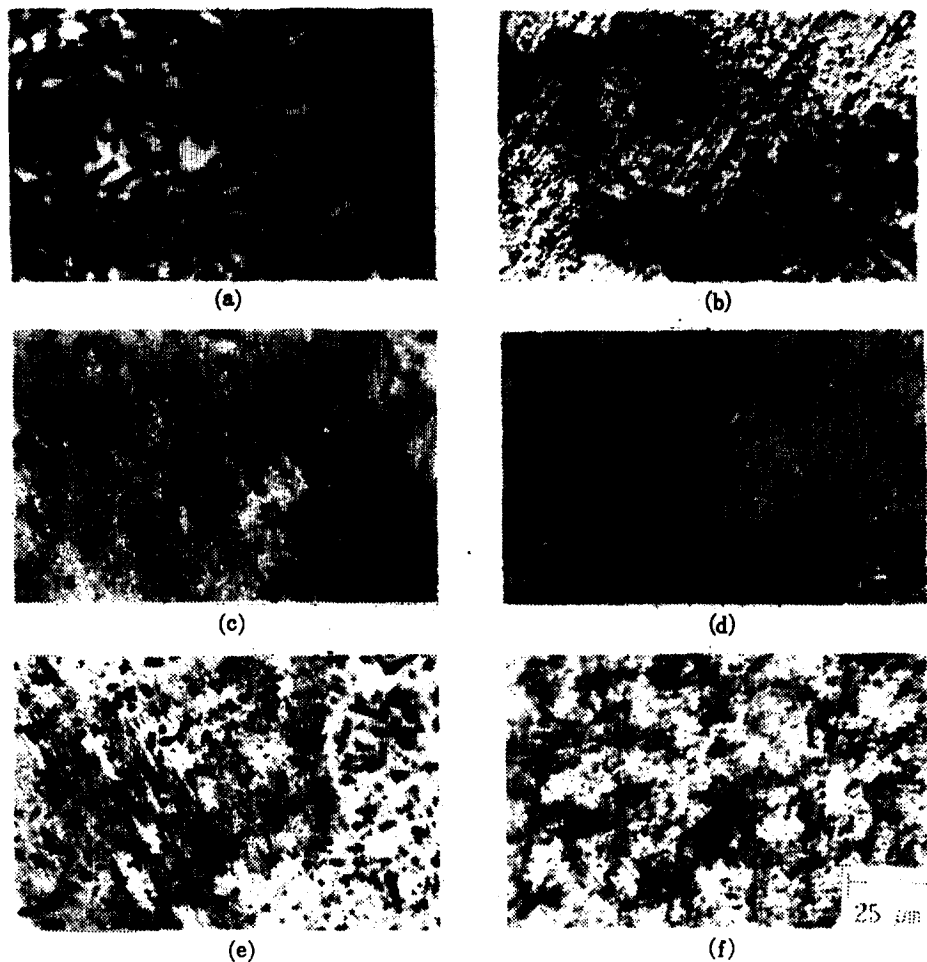


Photo. 2 Effect of heat treatment conditions on microstructure of Ti-48.3at% Al-1.22at% Mn alloy.
 (a) As-cast (b) Quenching (c) 1173K (d) 1273K (e) 1373K (f) 1473K

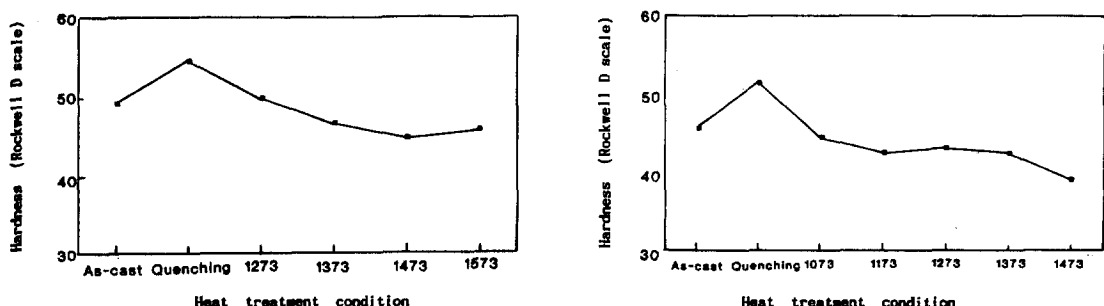


Fig. 5 Effect of heat treatment conditions on hardness test of Ti-48.1at% Al and Ti-48.3at% Al-1.22at% Mn alloys. (a) Ti-48.1at% Al (b) Ti-48.3at% Al-1.22at% Mn